

ДИФФЕРЕНЦИАЛЬНЫЕ УРАВНЕНИЯ

И

ПРОЦЕССЫ УПРАВЛЕНИЯ

№ 3, 2002

Электронный журнал,
рег. № П23275 от 07.03.97

<http://www.neva.ru/journal>
e-mail: diff@osipenko.stu.neva.ru

Моделирование динамических систем

О ГЛОБАЛЬНОЙ СТРУКТУРЕ ДИНАМИЧЕСКОЙ СИСТЕМЫ

Д.А. Мизин

Санкт-Петербургский Государственный
Политехнический Университет
e-mail: math@math.hop.stu.neva.ru

Аннотация.

Одной из важных задач теории динамических систем является разработка конструктивных методов для исследования глобальной структуры траекторий системы. В.А.Плисс в монографии "Интегральные множества периодических систем дифференциальных уравнений" (1977) ввел понятие "множества, порождающего периодические решения". По-видимому, это множество совпадает с множеством цепно-рекуррентных траекторий, которое определено С. Conley (Isolated Invariant set and Morse Index, Reg. Conf. Series in Math. Amer. Math. Soc., v. 38, 1978). Классические работы 60-80 годов [3, 4, 5, 8, 9, 10, 11] показали, что глобальная динамика системы существенно определяется связями между компонентами цепно-рекуррентного множества. В настоящей статье мы даем теоретическое обоснование компьютерно-ориентированного метода вычисления структурной матрицы динамической системы. Структурная матрица описывает ориентированный граф, у которого вершины $\{i\}$ соответствуют компонентам

цепно-рекуррентного множества. Каждое ребро $i \rightarrow j$ соответствует траекториям, которые имеют α -предельное множество в Q_i и ω -предельное множество в Q_j , т.е. ребра $\{i \rightarrow j\}$ соответствуют связям $\{Q_i \rightarrow Q_j\}$. По структурной матрице можно судить не только о количестве компонент и связях между ними, но и о структуре аттракторов и их областей притяжения. Основное предположение - конечное число компонент цепно-рекуррентного множества. Предложенный метод не требует никакой предварительной информации, все необходимые вычисления проводятся стандартными численными методами.

Определения.

Пусть M - компактное метрическое пространство с метрикой ρ . Рассмотрим дискретную динамическую систему, порожденную гомеоморфизмом $f : M \rightarrow M$.

Определение 1 *Бесконечная в обе стороны последовательность точек $\{x_i, -\infty < i < +\infty\}$ называется ε -траекторией, если расстояние между образом $f(x_i)$ и x_{i+1} меньше чем ε :*

$$\rho(f(x_i), x_{i+1}) < \varepsilon$$

для любого i . Если при этом последовательность $\{x_i\}$ является периодической, то она называется ε -периодической траекторией, а точки x_i называются ε -периодическими.

Определение 2 *Точка x называется цепно-рекуррентной, если x есть ε -периодическая для любого положительного ε , то есть, существует периодическая ε -траектория, проходящая через x . Цепно-рекуррентным множеством, Q , называется множество всех цепно-рекуррентных точек.*

Известно, что цепно-рекуррентное множество инвариантно, замкнуто и содержит возвращающиеся траектории всех типов, таких как периодические, гомоклинические и другие.

Определение 3 *Подмножество $\Omega \subset Q$ называется компонентой цепно-рекуррентного множества, если любые две точки из Ω могут быть соединены периодической ε -траекторией для любого $\varepsilon > 0$.*

Из определения 3 следует, что цепно-рекуррентное множество Q может быть представлено в виде объединения непересекающихся инвариантных замкнутых компонент Q_i :

$$Q = \bigcup_i Q_i$$

Пусть $T(x) = \{f^n(x), n \in \mathbf{Z}\}$ будет траектория, проходящая через точку x , $T^+(x) = \{f^n(x), n \in \mathbf{Z}^+\}$ положительная полутраектория, и $T^-(x) = \{f^n(x), n \in \mathbf{Z}^-\}$ отрицательная полутраектория, где \mathbf{Z} , \mathbf{Z}^+ и \mathbf{Z}^- есть множества целых чисел, положительных целых чисел и отрицательных целых чисел соответственно. Будем говорить, что точка y принадлежит ω -предельному множеству точки x , $\omega(x)$, если существует последовательность целых $n_k \rightarrow \infty$ таких, что $f^{n_k}(x) \rightarrow y$, то есть,

$$\omega(x) = \bigcap_{n>0} cl f^n(T^+(x)),$$

где $cl A$ означает замыкание множества A . Аналогично, α -предельное множество точки x , $\alpha(x)$, есть множество предельных точек отрицательной полутраектории

$$\alpha(x) = \bigcap_{n<0} cl f^n(T^-(x)).$$

Определение 4 Пусть $\{Q_1, Q_2, Q_3, \dots\}$ – компоненты цепно-рекуррентного множества динамической системы. Будем говорить, что между компонентами Q_i и Q_j есть связь $Q_i \rightarrow Q_j$, если существует точка x такая, что $\alpha(x) \subset Q_i$, $\omega(x) \subset Q_j$.

Рассмотрим граф Γ с множеством вершин $\{i\}$, соответствующих компонентам Q_i , и с множеством ребер $i \rightarrow j$ в том и только в том случае, если существует связь $Q_i \rightarrow Q_j$.

Определение 5 Так построенный граф Γ будем называть структурным графом динамической системы, а соответствующую матрицу переходов $A = (a_{ij})$ – структурной матрицей динамической системы f , $a_{ij} = 1$, если существует ребро $i \rightarrow j$, иначе $a_{ij} = 0$.

По определению, структурный граф и его матрица переходов являются топологическим инвариантом динамической системы. Размер структурной матрицы есть $q \times q$, где q – число компонент цепно-рекуррентного множества. Основной результат этой статьи содержится в следующей теореме.

Теорема 1 Если динамическая система имеет конечное число компонент цепно-рекуррентного множества, то существует конечный алгоритм для построения структурной матрицы.

Символический образ.

Приведем конструкцию символического образа [7]. Пусть

$$C = \{M(1), \dots, M(n)\}$$

- конечное покрытие компакта M замкнутыми множествами. Множества $M(i)$ назовем ячейками покрытия.

Определение 6 Пусть G есть ориентированный граф, имеющий n вершин, при этом номер вершины i соответствует ячейке $M(i)$. Вершины i и j связаны ориентированным ребром $i \rightarrow j$ если, и только если, $M(j) \cap f(M(i)) \neq \emptyset$. Так построенный граф G называется символическим образом отображения f относительно покрытия C .

Обозначим через $Ver(G)$ множество вершин графа G . Ориентированный граф G можно рассматривать как многозначное соответствие $G : Ver \rightarrow Ver$ между

вершинами. Такой граф G однозначно определяется матрицей переходов $\Pi = (\pi_{ij})$, которая имеет размеры $n \times n$. Элемент $\pi_{ij} = 1$, если существует ориентированное ребро $i \rightarrow j$, в противном случае $\pi_{ij} = 0$. Много полезной информации о свойствах динамической системы можно получить, исследуя ее символический образ. Ясно, что символический образ зависит от покрытия C . Варьируя покрытие C , мы можем менять символический образ. Естественно рассматривать символический образ как конечную аппроксимацию отображения f . Эта аппроксимация будет более точной при более мелком покрытии.

Определение 7 Последовательность $\omega = \{z_k\}$ вершин графа G называется допустимым путем (или просто - путем), если для любого k граф G содержит ребро $z_k \rightarrow z_{k+1}$. Путь называется периодическим, если последовательность $\{z_k\}$ является периодической.

Пусть $d = diam(C) := \sup_{M(i) \in C} (diam M(i))$, а q есть наибольший диаметр образов $f(M(i))$, $i=1, \dots, n$. Определим следующим образом число r .

Пусть ячейка $M(k)$ не пересекается с образом $f(M(i))$. Положим

$$r_{ik} := \rho(f(M(i)), M(k)) = \min(\rho(x, y) : x \in f(M(i)), y \in M(k)).$$

Определение 8 Нижней границей символического образа G называется минимальное значение среди всех r_{ik} и обозначается r .

Заметим, что так как множество $\{(i, k)\}$ состоит из конечного числа элементов, то $r > 0$. Существует естественная связь между допустимыми путями на символическом образе G и ε -траекториями отображения f (теорема об отслеживании):

Теорема 2 [7]

1. Если последовательность $\{z_k\}$ есть путь на символическом образе G и $x_k \in M(z_k)$, то последовательность $\{x_k\}$ есть ε -траектория гомеоморфизма f для любого $\varepsilon > q + d$. В частности, если последовательность $\{z_k\}$ есть периодический путь на G , то последовательность $\{x_k\}$ есть ε -периодическая траектория.
2. Если последовательность $\{z_k\}$ есть путь на символическом образе G , то существует последовательность $\{x_k\}$, $x_k \in M(z_k)$, которая есть ε -траектория гомеоморфизма f для каждого $\varepsilon > d$.
3. Если последовательность $\{x_k\}$ есть ε -траектория гомеоморфизма f , $\varepsilon < r$ и $x_k \in M(z_k)$, то последовательность $\{z_k\}$ есть допустимый путь на символическом образе G . В частности, если последовательность $\{x_k\}$ есть ε -периодическая траектория, то последовательность $\{z_k\}$ есть периодический путь на G .

Определение 9 Вершина символического образа называется возвратной, если существует периодический путь, проходящий через нее. Две возвратные вершины i и j называются эквивалентными, если существует периодический допустимый путь, проходящий через вершины i и j .

Обозначим через $P(d)$ объединение ячеек $M(i)$ для которых вершины i являются возвратными:

$$P(d) = \left\{ \bigcup M(i) : i\text{-возвратные} \right\}.$$

Заметим, что множество $P(d)$ вообще говоря зависит от покрытия S . Однако, в последующем для нас будет важна зависимость P только от наибольшего диаметра d .

Теорема 3 [7]

1. Множество $P(d)$ является замкнутой окрестностью цепно-рекуррентного множества.
2. Цепно-рекуррентное множество Q совпадает с пересечением множеств $P(d)$ для всех положительных d :

$$Q = \bigcap_{d>0} P(d).$$

Возвратные вершины однозначно определяются ненулевыми диагональными элементами матрицы переходов Π^m , $m \leq n$, где n есть число ячеек покрытия. Согласно определению 9, множество возвратных вершин разбивается на несколько классов эквивалентности $\{H_k\}$ эквивалентных возвратных вершин. Ясно, что каждый периодический путь ω находится в некотором классе, который однозначно определяется по ω .

Введем отношение квазипорядка между вершинами на символическом образе. Будем писать $i \prec j$ тогда и только тогда, когда существует допустимый путь вида

$$i = i_0, i_1, i_2, \dots, i_m = j.$$

Следовательно, вершина i будет возвратной тогда и только тогда, когда $i \prec i$, и пара возвратных вершин i, j будет эквивалентной тогда и только тогда, когда $i \prec j \prec i$.

Утверждение 1 [1] *Вершины символического образа G могут быть перенумерованы таким образом, что*

- эквивалентные вершины окажутся занумерованными подряд идущими целыми числами;
- новые номера вершин i, j выбраны таким образом, что $i < j$, если $i \prec j \not\prec i$.

Другими словами, матрица переходов имеет при такой нумерации следующий вид

$$\Pi = \begin{pmatrix} (\Pi_1) & \cdots & \cdots & \cdots & \cdots \\ & \ddots & & & \\ 0 & & (\Pi_k) & \cdots & \cdots \\ & \ddots & & \ddots & \\ 0 & & 0 & & (\Pi_s) \end{pmatrix}, \quad (1)$$

где каждый диагональный блок Π_k либо отвечает одному из классов эквивалентности возвратных вершин H_k , либо соответствует некоторой невозвратной вершине и состоит из одного нуля. Следует отметить, что перенумерация, описанная в утверждении 1, определена не единственным образом.

По символическому образу G построим новый граф G^* , отождествляя эквивалентные вершины на G в одну. А именно, каждому классу эквивалентности H_k сопоставим на графе G^* вершину k , а ребро $k \rightarrow l$ будет означать, что существует допустимый путь из класса H_k в класс H_l , не проходящий через другие классы.

Определение 10 Построенный выше граф G^* будем называть структурным графом символического образа G .

Очевидно, матрица переходов для G^* имеет вид

$$\Pi^* = \begin{pmatrix} 1 & \cdots & \cdots & \cdots & \cdots \\ & \ddots & & & \\ 0 & & 1 & \cdots & \cdots \\ & \ddots & & \ddots & \\ 0 & & 0 & & 1 \end{pmatrix}, \quad (2)$$

где размер матрицы определяется числом классов эквивалентности возвратных вершин.

Вычисление структурной матрицы.

Последовательность символических образов. Пусть $C = \{M(i)\}$ есть замкнутое покрытие фазового пространства M , G - символический образ относительно покрытия C . Образует новое покрытие NC посредством разбиения покрытия C , то есть каждая ячейка $M(i)$ подвергается разбиению снова. Пусть NG есть символический образ относительно покрытия NC . Обозначим через $m(i, k)$ ячейки покрытия NC , где $\cup_k m(i, k) = M(i)$ и запишем вершины нового символического образа в виде (i, k) . Возникает естественное отображение $S : NG \rightarrow G$, которое все вершины (i, k) переводит в вершину i , то есть $S(i, k) = i$. Так как из $f(m(i, k)) \cap m(j, l) \neq \emptyset$ следует $f(M(i)) \cap M(j) \neq \emptyset$, то отображение S ориентированную дугу $(i, k) \rightarrow (j, l)$ переводит на ориентированную дугу $i \rightarrow j$. Следовательно, отображение S

переводит ориентированный граф NG на ориентированный граф G , периодические пути в периодические пути и классы эквивалентности в классы эквивалентности. В частности, $S(NH_k) \subset H_k$, где $\{NH_k\}$ есть совокупность классов эквивалентных возвратных вершин на символическом образе NG . Таким образом, S можно рассматривать как отображение, сопоставляющее каждому пути на графе NG определенный путь на графе G , а именно, если $\omega = \{(i_n, j_n)\}$ – путь на NG , то $\gamma = S(\omega) := \{i_n\}$ есть путь на G . Заметим, что обратного отображения $\tilde{S} : G \rightarrow NG$ вообще говоря нет.

Обозначим через $R_k = \{\cup M(i), i \in H_k\}$ – носитель класса H_k .

- Утверждение 2**
1. Если Q_k есть компонента цепно-рекуррентного множества и $Q_k \cap R_k \neq \emptyset$, то $R_k \supset Q_k$;
 2. Для каждой компоненты Q_k цепно-рекуррентного множества существует R_k такое, что $R_k \supset Q_k$;
 3. Пусть $S(NH_k) \subset H_k$. Тогда R_k содержит ε -периодическую траекторию для любого $\varepsilon > \text{diam}(NC)$.

Доказательство. 1. Пусть $Q_k \cap R_k \neq \emptyset$, но $R_k \not\supset Q_k$. Следовательно, существует точка $x \in Q_k$, которая не содержится в R_k . Пусть $x \in M(i)$. Тогда $i \notin H_k$. Возьмем любую точку $y \in Q_k \cap R_k$. Тогда существует $j \in H_k$, что $y \in M(j)$. Так как точки x и y находятся в одной компоненте цепно-рекуррентного множества, то для любого $\varepsilon > 0$ существует ε -периодическая траектория $\{x, \dots, y, \dots, x\}$. В частности, такая траектория существует и для $\varepsilon = r/2$, где r – нижняя грань символического образа G . Следовательно, по теореме об отслеживании, на символическом образе G существует периодический путь $\{i, \dots, j, \dots, i\}$, то есть вершины i и j находятся в одном классе эквивалентности, что противоречит условию $i \notin H_k$. Следовательно, $R_k \supset Q_k$.

2. Пусть Q_k – компонента цепно-рекуррентного множества. Возьмем любые две точки x, y из компоненты Q_k . Согласно определению 3, для любого $\varepsilon > 0$ существует ε -периодическая траектория $\{x_k\}$ через них проходящая. Из теоремы об отслеживании следует, что на символическом образе существует периодический путь $\{z_k\}$, $M(z_k) \ni x_k$. Этот путь

однозначно определяет класс эквивалентности H_k , носитель R_k которого содержит построенную ε -траекторию. Таким образом, $Q_k \cap R_k \neq \emptyset$. Согласно первому пункту утверждения, $R_k \supset Q_k$.

3. Рассмотрим множество R_k и соответствующий ему класс эквивалентности H_k , где $S(NH_k) \subset H_k$. Так как покрытие NC является измельчением покрытия C , то $R_k \supset NR_k$, где NR_k есть носитель класса NH_k . Согласно теореме 2 об отслеживании, любому периодическому пути из NH_k можно сопоставить ε -периодическую траекторию в NR_k для любого $\varepsilon > \text{diam}(NC)$, что доказывает утверждение. ■

Построим последовательность замкнутых покрытий C_1, C_2, \dots пространства M так, что каждое следующее покрытие является измельчением предыдущего. Ячейки покрытия C_k будем обозначать через $M_k(i)$, $i = 1, \dots, |C_k|$, где $|\cdot|$ – мощность множества. Пусть G_k есть символический образ для покрытия C_k , P_k – множество всех допустимых путей на графе G_k . Согласно теореме об отслеживании, любому допустимому пути $\omega \in P_1$ соответствует ε -траектория на фазовом пространстве M , где $\varepsilon > \text{diam}(C_1) := d_1$. Выберем среди всех путей $\omega \in P_1$ те, для которых существует путь $\gamma \in P_2$ такой, что ω есть образ γ при отображении $S : P_2 \rightarrow P_1$, то есть $\omega = S(\gamma)$. Полученное множество обозначим через P_1^2 . Тогда любой последовательности $\omega \in P_1^2$ соответствует ε_1 -траектория на M , где $d_2 < \varepsilon_1 < \varepsilon$. Аналогично, если рассмотреть образ пространства P_3 на P_1 , то получим новое пространство P_1^3 , которое содержится в P_1^2 : $P_1^3 \subset P_1^2 \subset P_1$, и любой последовательности $\omega \in P_1^3$ на M будет соответствовать ε_2 -траектория, $d_3 < \varepsilon_2 < \varepsilon_1 < \varepsilon$. Понятно, что при дальнейших отображениях пространств P_k на P_1 , мы будем оставлять те последовательности из P_1 , которые будут соответствовать ε_k -траекториям для достаточно малых ε_k . Так как, $\text{diam}(C_k) \rightarrow 0_{k \rightarrow \infty}$, то $\varepsilon_k \rightarrow 0_{k \rightarrow \infty}$. Таким образом, логично ожидать, что при $k \rightarrow \infty$ на символическом образе G_1 останутся лишь те допустимые пути, которые соответствуют истинным траекториям системы на фазовом пространстве. То есть, мы найдем все *кодированные* траектории для покрытия C_1 и только их.

Для строгого доказательства определим несколько множеств. Обозначим $B_N(P_k)$ множество всех путей длины N , которые встречаются в допустимых путях множества P_k . Пусть последовательность $\omega = \{i_n\} \in P_1$ обладает свойством: для любого пути длины N из этой последовательности существует путь-прообраз длины N из $B_N(P_k)$, $k > 1$, которое отображается на первое. Совокупность таких последовательностей ω из P_1 обозначим через $P_1(k, N)$:

$$P_1(k, N) = \{ \{i_n\} \in P_1 : \forall [i_m, \dots, i_{m+N-1}] \quad \exists [j_m, \dots, j_{m+N-1}] \in B_N(P_k), \\ [i_m, \dots, i_{m+N-1}] = S[j_m, \dots, j_{m+N-1}] \}.$$

В множество (f, C_1, N) будем включать те последовательности ω из P_1 , у которых любой путь длины N соответствует орбите длины N некоторой точки фазового пространства:

$$(f, C_1, N) = \{ \{i_n\} \in P_1 : \forall [i_m, \dots, i_{m+N-1}] \quad \exists x \in M, \\ f^{r-m}(x) \in M_1(i_r), m \leq r \leq m + N - 1 \}.$$

Пусть $\Psi(f, C_1)$ есть множество всех кодированных траекторий для покрытия C_1 :

$$\Psi(f, C_1) := \{ \{i_n\} \in P_1 : \exists x \in M, f^n(x) \in M_1(i_n) \quad \forall n \in \mathbf{Z} \}.$$

Все три введенные в рассмотрение множества являются подмножествами P_1 .

Теорема 4 . Пусть C_1, C_2, \dots есть последовательность замкнутых покрытий пространства M таких, что каждое следующее покрытие является измельчением предыдущего и $\text{diam}(C_k) \rightarrow 0$ при $k \rightarrow +\infty$. Тогда

1. $\{P_1^k\}_k$ есть последовательность вложенных друг в друга множеств, то есть $P_1^k \supset P_1^{k+1}$ для любого $k > 1$.
2. Множество кодированных траекторий совпадает с пересечением множеств P_1^k для всех натуральных k :

$$\Psi(f, C_1) = \bigcap_{k>1} P_1^k. \tag{3}$$

Доказательство.

1. Пусть $\omega \in P_1^{k+1}$. Это значит, что существует последовательность $\gamma \in P_{k+1}$ такая, что $\omega = S(\gamma)$. Рассмотрим последовательность $\alpha \in P_k$, которая является образом γ при отображении $S : P_{k+1} \rightarrow P_k$. Так как C_k представляют собой последовательные измельчения, то $S(\alpha) = \omega$, и потому $\omega \in P_1^k$. Следовательно, $P_1^k \supset P_1^{k+1}$.
2. Докажем, что $(f, C_1, N) = \bigcap_{k>1} P_1(k, N), N < +\infty$. Пусть $\omega = \{i_n\} \in \bigcap_{k>1} P_1(k, N)$. То есть, для любого пути длины N $[i_m, \dots, i_{m+N-1}]$ из последовательности ω и для любого k существует путь длины N $[j_m, \dots, j_{m+N-1}] \in B_N(P_k)$ такой, что

$$[i_m, \dots, i_{m+N-1}] = S[j_m, \dots, j_{m+N-1}]. \tag{4}$$

Пусть $Q_k = \{\{x_n\}_{n=m}^{m+N-1} : x_n \in M_1(i_n), \rho(f(x_n), x_{n+1}) \leq d_k := d_{C_k}\}$. Из соотношения (4) следует, что $Q_k \neq \emptyset$. Покрытие C_{k+1} есть измельчение покрытия C_k . Поэтому наибольший диаметр ячеек из C_{k+1} не превосходит наибольшего диаметра ячеек из C_k , то есть $d_{k+1} \leq d_k$. Следовательно, для любого k верно $Q_{k+1} \subset Q_k$. Кроме того, Q_k есть компактное множество. Следовательно, $Q_\infty := \bigcap_{k>1} Q_k \neq \emptyset$. Так как $d_k \rightarrow 0$ при $k \rightarrow +\infty$, то $Q_\infty = \{\{x_n\}_{n=m}^{m+N-1} : x_n \in M_1(i_n), \rho(f(x_n), x_{n+1}) = 0\}$. Таким образом, мы произвольному пути длины N из последовательности $\omega \in P_1$ можем сопоставить орбиту длины N некоторой точки фазового пространства. То есть, $\omega \in (f, C_1, N)$ и, следовательно, $(f, C_1, N) \supset P_1(k, N)$.

Покажем, что $(f, C_1, N) \subset P_1(k, N)$ для любого $k > 1, N < +\infty$. Пусть $\{i_n\} \in (f, C_1, N)$. Следовательно, для любого пути $[i_m, \dots, i_{m+N-1}]$ существует $x \in M$ такой, что $x \in M_1(i_m), f(x) \in M_1(i_{m+1}), \dots, f^{N-1}(x) \in M_1(i_{m+N-1})$. Рассмотрим произвольное покрытие $C_k, k > 1$ и, соответствующий этому покрытию, символический образ G_k . Пусть $x \in M_k(j_m), f(x) \in M_k(j_{m+1}), \dots, f^{N-1}(x) \in M_k(j_{m+N-1})$. Из теоремы 2 следует, что на символическом образе G_k существует допустимый путь $\{j_n\}_{n=m}^{m+N-1}$. Так как C_k есть измельчение C_1 , то $M_k(j_n) \subset M_1(i_n), n = m, \dots, m + N - 1$ и, следовательно, по определению отображения S , мы имеем $[i_m, \dots, i_{m+N-1}] = S[j_m, \dots, j_{m+N-1}]$. Таким образом, получаем $\{i_n\} \in P_1(k, N)$. Так как число k взято произвольно, то включение $\{i_n\} \in P_1(k, N)$ выполняется для любого $k > 1$, то есть, $(f, C_1, N) \subset P_1(k, N) \forall k > 1$ и, следовательно, $(f, C_1, N) = \bigcap_{k>1} P_1(k, N), N < +\infty$.

Далее установим, что $\Psi(f, C_1) = \bigcap_N (f, C_1, N)$. Действительно, пусть $\omega = \{i_n\} \in \bigcap_N (f, C_1, N)$. Следовательно, для пути $[i_0, \dots, i_{N-1}]$ мы можем найти последовательность $\{x_n^N\}_{n=0}^{N-1}, x_n^N \in M_1(i_n), \rho(f(x_n^N), x_{n+1}^N) = 0$ (индекс N вверху показывает длину орбиты). Аналогично, для пути $[i_{-1}, \dots, i_N]$ существует последовательность $\{x_n^{N+2}\}_{n=-1}^N, x_n^{N+2} \in M_1(i_n), \rho(f(x_n^{N+2}), x_{n+1}^{N+2}) = 0$. Рассмотрим бесконечную последовательность $\{x_0^m\}_{m \in \mathbf{N}} \in M_1(i_0)$. Так как $M_1(i_0)$ есть компакт, то существует подпоследовательность $\{x_0^{m_k}\} \rightarrow_{k \rightarrow +\infty} x_0$. Далее, для последовательности $\{x_1^{m_k}\} \in M_1(i_1)$ находим сходящуюся подпоследовательность, предел которой обозначим через x_1 . Из непрерывности f следует, что $\rho(f(x_0), x_1) = 0$. Продолжая этот процесс для множеств $M_1(i_{-1}), M_1(i_2), M_1(i_{-2}), \dots$, получаем последовательность $x_0, x_1, x_{-1}, x_2, x_{-2}, \dots$ для которой $x_n \in M_1(i_n), \rho(f(x_n), x_{n+1}) = 0 \quad \forall n \in \mathbf{Z}$. Таким об-

разом, $\omega \in \Psi(f, C_1)$ и, следовательно, $\Psi(f, C_1) \supset \bigcap_N (f, C_1, N)$. Обратное включение очевидно. То есть $\Psi(f, C_1) = \bigcap_N (f, C_1, N)$.

Заметим, что $P_1^k = \bigcap_N P_1(k, N)$. Действительно, пусть $\omega \in P_1^k$. Это значит, что существует последовательность $\gamma \in P_k$ такая, что $\omega = S(\gamma)$. В частности, для любого $N \in \mathbf{N}$ $\omega \in P_1(k, N)$. То есть, $\omega \in \bigcap_N P_1(k, N)$. Обратно, пусть $\omega \in \bigcap_N P_1(k, N)$, и $\omega \notin P_1^k$. Следовательно, не существует последовательности $\gamma \in P_k$ такой, что $\omega = S(\gamma)$. То есть, найдется хотя бы один путь $[i_m, \dots, i_{m+N_0-1}]$ из ω для которого нет прообраза из $B_{N_0}(P_k)$. Значит, $\omega \notin P_1(k, N_0)$. Получили противоречие с предположением. Последнее означает, что $P_1^k = \bigcap_N P_1(k, N)$.

Таким образом, получаем цепочку равенств:

$$\Psi(f, C_1) = \bigcap_N (f, C_1, N) = \bigcap_N \bigcap_{k>1} P_1(k, N) = \bigcap_{k>1} \bigcap_N P_1(k, N) = \bigcap_{k>1} P_1^k. \quad (5)$$

Теорема доказана. ■

Из утверждения 2 следует, что на символическом образе среди всех классов эквивалентности должны быть те, носители которых содержат компоненты цепно-рекуррентного множества (такие классы будем называть *истинными*). Причем каждый носитель может содержать несколько таких компонент. Но среди классов эквивалентности могут быть и такие, у которых носители не содержат ни одной компоненты (такие классы будем называть *ложными*, а соответствующие им вершины на структурном графе G^* ложными вершинами). Кроме того, на структурном графе символического образа могут существовать и *ложные ребра*, то есть такие ребра $i \rightarrow j$ для которых на фазовом пространстве не существует точки x с ω -предельным множеством в $Q_j \subset H_j$ и с α -предельным множеством в $Q_i \subset H_i$. Покажем, что существует конечный алгоритм для построения нового графа G^{**} , вершины которого соответствуют только тем классам эквивалентности на символическом образе, носители которых обязательно содержат компоненту цепно-рекуррентного множества, а все ребра между вершинами являются *истинными* (то есть соответствуют связям между компонентами цепно-рекуррентного множества).

Истинный структурный граф. Пусть C – замкнутое покрытие компакта M , G – символический образ для этого покрытия, G^* – структурный граф символического образа. Множество $R(x) = \{\bigcup M(i_m) : f^m(x) \in M(i_m)\}$ будем называть носителем траектории $\{f^m(x)\}$. Определим новый

граф G^{**} для которого выполняются следующие условия.

1. Множество вершин графа G^{**} есть подмножество множества вершин структурного графа G^* , и $k \in Ver(G^{**})$ означает, что класс эквивалентных возвратных вершин H_k истинный.
2. Пусть $k, l \in Ver(G^{**})$, R_k, R_l – носители. Ребро $k \rightarrow l$ есть на графе G^{**} тогда и только тогда, когда существует точка $x \in M$ такая, что а) $\omega(x) \subset Q_l$, $\alpha(x) \subset Q_k$, где $Q_l \subset R_l$, $Q_k \subset R_k$ – компоненты цепно-рекуррентного множества и б) носитель траектории точки x , $R(x)$, не пересекается с носителями других классов: $R(x) \cap R_i = \emptyset$ для $i \neq k, l$.

Определение 11 Так построенный граф G^{**} будем называть истинным структурным графом для символического образа G .

Построение графа G^{} .** Пусть C_1 – замкнутое покрытие M , C_2 – его измельчение, G_1, G_2 и G_1^*, G_2^* – соответствующие им символические образы и структурные графы. Построим новый граф G_{12}^* следующим образом. Пусть $k \in Ver(G_1^*)$. Будем включать вершину k в множество $Ver(G_{12}^*)$, если существует допустимый путь $\omega = \{i_n\} \in P_1^2$ на графе G_1 , где $i_n \in H_k$, $n \in \mathbf{Z}$. Остальные вершины множества $Ver(G_1^*)$ мы не рассматриваем. Таким образом, каждая вершина k множества $Ver(G_{12}^*)$ соответствует классу эквивалентных возвратных вершин H_k на символическом образе G_1 . Определим множество ребер графа G_{12}^* . Пусть $k, l \in Ver(G_{12}^*)$ и существует допустимый путь $\omega \in P_1^2$ на G_1 из класса H_k в класс H_l , не проходящий через другие выделенные классы, то есть ω не проходит через классы H_i для $i \in Ver(G_{12}^*) \setminus \{k, l\}$. Тогда считаем, что $k \rightarrow l$ – ребро на графе G_{12}^* . Из построения графа G_{12}^* следует, что $Ver(G_{12}^*) \subset Ver(G_1^*)$. Покажем, что число ребер графа G_{12}^* не превосходит числа ребер графа G_1^* . Пусть $k \rightarrow l$ – ребро на графе G_{12}^* . Тогда существует допустимый путь $\omega \in P_1^2$ на G_1 из класса H_k в класс H_l , не проходящий через другие выделенные классы H_i , $i \in Ver(G_{12}^*) \setminus \{k, l\}$. Этот путь либо а) проходит через оставшиеся (невыделенные) классы, либо б) не проходит через невыделенные классы. Тогда на структурном графе G_1^* этому пути либо а) соответствует путь конечной длины $k \rightarrow \dots \rightarrow l$, либо б) соответствует ребро $k \rightarrow l$. Таким образом, каждому ребру графа G_{12}^* можно сопоставить хотя бы одно ребро на графе G_1^* . Заметим, что $E(G_{12}^*) \not\subset E(G_1^*)$ вообще говоря, где $E(G)$ обозначает множество ребер графа G .

Аналогично, рассматривая следующее разбиение C_3 и множество допустимых путей P_1^3 на графе G_1 , построим граф G_{13}^* . Согласно теореме 4, $P_1^3 \subset P_1^2$. Следовательно, $Ver(G_{13}^*) \subset Ver(G_{12}^*)$ и $|E(G_{13}^*)| \leq |E(G_{12}^*)|$.

Рассмотрим последовательность измельчений $\{C_k\}$ и для каждого $k \in \mathbf{N}$ построим граф G_{1k}^* .

Утверждение 3 Пусть $\{G_{1k}^*\}$ есть последовательность построенных выше графов. Тогда существует номер $n_1 \in \mathbf{N}$ такой, что для любого $k \geq n_1$ граф G_{1k}^* совпадает с истинным структурным графом символического образа G_1 , то есть $G_{1k}^* = G_1^{**}, k \geq n_1$.

Доказательство. Так как $Ver(G_1^*) \supset Ver(G_{12}^*) \supset Ver(G_{13}^*) \supset \dots$, то существует n_0 такое, что графы G_{1k}^* имеют одинаковое множество вершин для $k \geq n_0$. Тогда, для $m > n \geq n_0$, $E(G_{1n_0}^*) \supset E(G_{1n_0+1}^*) \supset \dots$ и, следовательно, существует номер $n_1 \geq n_0$ такой, что графы G_{1k}^* совпадают для всех $k \geq n_1$. Докажем, что $G_{1n_1}^* = G_1^{**}$.

1) Покажем, что $Ver(G_{1n_1}^*) = Ver(G_1^{**})$. Вершина k графа $G_{1n_1}^*$ соответствует некоторому классу эквивалентных возвратных вершин H_k на символическом образе G_1 . Для этого класса для любого n существует допустимый периодический путь $\gamma_n = \{i_m\} \in P_1^n$, где $i_m \in H_k$ для всех целых m . Для каждого n путь γ_n соответствует периодической ε_n -траектории, содержащейся в носителе R_k . Так как число ячеек в носителе R_k конечное число, то существует ячейка $M(i_0) \subset R_k$, которая содержит бесконечное множество точек $x_0(\varepsilon_1), x_0(\varepsilon_2), \dots$ периодических ε -траекторий. Так как $M(i_0)$ – компактное множество, то существует подпоследовательность, сходящаяся к точке $x_0 \in M(i_0)$. Не умоляя общности можно считать, что $\lim_{\varepsilon_n \rightarrow 0} x_0(\varepsilon_n) = x_0$. Рассмотрим следующую ячейку $M(i_1) \subset R_k$, содержащую бесконечное множество точек $x_1(\varepsilon_1), x_2(\varepsilon_2), \dots$ рассмотренных последовательностей. Пусть $\lim_{\varepsilon_n \rightarrow 0} x_1(\varepsilon_n) = x_1$. Аналогично, определим точки $x_{-1} \in M(i_{-1}), x_2 \in M(i_2), \dots$. В результате получим бесконечную в обе стороны последовательность точек $\dots, x_{-2}, x_{-1}, x_0, x_1, x_2, \dots$, каждая из которых содержится в R_k . Покажем, что $\{x_m\}$ есть настоящая траектория динамической системы. Действительно,

$$\rho(f(x_m), x_{m+1}) = \rho(f(\lim_{\varepsilon_n \rightarrow 0} x_m(\varepsilon_n)),$$

$$\lim_{\varepsilon_n \rightarrow 0} x_{m+1}(\varepsilon_n)) = \lim_{\varepsilon_n \rightarrow 0} \rho(f(x_m(\varepsilon_n)), x_{m+1}(\varepsilon_n)) = 0.$$

Таким образом, среди всех периодических допустимых путей γ_n , мы выделили путь $\{..i_{-2}i_{-1}i_0i_1i_2..\}$, который соответствует настоящей траектории динамической системы. Причем из построения следует, что $\omega(x_0)$ и $\alpha(x_0)$ содержатся в носителе R_k . Так α - и ω -предельные множества есть замкнутые и инвариантные, то существуют компоненты цепно-рекуррентного множества их содержащие. Согласно утверждению 2, носители классов и компоненты цепно-рекуррентного множества не пересекаются. Следовательно, множество R_k содержит по крайней мере одну компоненту цепно-рекуррентного множества. То есть, класс H_k – истинный и k – вершина на графе G_1^{**} .

Пусть $k \in Ver(G_1^{**})$. Это значит, что носитель класса H_k содержит компоненту цепно-рекуррентного множества Q_k . Тогда для любой точки $x \in Q_k$ существует ε -периодическая траектория через нее проходящая для любого $\varepsilon > 0$. Согласно теореме 2, на каждом символическом образе G_n найдется периодический путь γ_n , соответствующий ε -траектории для достаточно малого ε . Так как все ε -периодические траектории содержатся внутри множества R_k , то для любого натурального n $S(\gamma_n) \subset H_k$. Следовательно, $k \in Ver(G_{1n_1}^*)$. Таким образом, $Ver(G_{1n_1}^*) = Ver(G_1^{**})$.

2) Покажем, что $E(G_{1n_1}^*) = E(G_1^{**})$. $Ver(G_{1n_1}^*) = Ver(G_1^{**})$. Следовательно, для $k \in Ver(G_{1n_1}^*)$ класс H_k на символическом образе G_1 истинный. Пусть $k \rightarrow l$ ребро на графе $G_{1n_1}^*$. Это значит, что для любого $n \in \mathbf{N}$ существует допустимый путь $\omega_n \in P_1^n$ на символическом образе G_1 из класса H_k в класс H_l , который не проходит через другие истинные классы. Каждый такой путь $\omega_n = \{i_m^n\}_{m \in \mathbf{Z}}$ на фазовом пространстве соответствует ε_n -траектории $\{x_m(\varepsilon_n)\}_{m \in \mathbf{Z}}$. Обозначим через T объединение ячеек $M(i)$, где через вершину i проходит какой-нибудь из рассмотренных допустимых путей ω_n и i не принадлежит ни одному истинному классу эквивалентных вершин. Тогда T не пересекается с цепно-рекуррентным множеством. Так как для любого $n \in \mathbf{N}$ существует $\omega_n \in P_1^n$, то существует ячейка $M(i_0) \subset T$, которая содержит бесконечное множество точек $x_0(\varepsilon_1), x_0(\varepsilon_2), \dots$. Так как $M(i_0)$ – компактное множество, то существует подпоследовательность, сходящаяся к точке x_0 . Не умоляя общности, $\lim_{\varepsilon_n \rightarrow 0} x_0(\varepsilon_n) = x_0$. Рассмотрим следующую ячейку $M(i_1)$, содержащую бесконечное множество точек $x_1(\varepsilon_1), x_2(\varepsilon_2), \dots$. Аналогично, пусть $\lim_{\varepsilon_n \rightarrow 0} x_1(\varepsilon_n) = x_1$. И так далее. В результате получим бесконечную в обе стороны последовательность точек $.., x_{-2}, x_{-1}, x_0, x_1, x_2, \dots$. Так как T не пересекается с инвариантным множеством, то найдутся такие номера $t, s \in \mathbf{Z}$, что $x_t \in R_k, x_s \in R_l$, где R_k, R_l

– носители классов H_k, H_l . Пути ω_n начинаются в H_k и заканчиваются в H_l . Поэтому все точки $x_m \in R_k$ при $m \leq t$ и $x_m \in R_l$ при $m \geq s$. По аналогии с тем, как это было доказано выше, можно показать, что $\{x_m\}$ есть настоящая траектория динамической системы, причем ω -предельное множество содержится в R_k и α -предельное множество содержится в R_l . Таким образом, среди всех рассматриваемых допустимых путей $\omega_n \in P_1^n$, мы выделили тот, который соответствует настоящей траектории. Последнее означает, что $\omega(x_0) \in Q_l, \alpha(x_0) \in Q_k$, где $Q_l \subset R_l, Q_k \subset R_k$. То есть, $k \rightarrow l$ – ребро на графе G_1^{**} .

Пусть $k \rightarrow l$ – ребро на графе G_1^{**} . Тогда существует точка $x \in M$ такая, что $\alpha(x) \subset R_k, \omega(x) \subset R_l$ и $R(x) \cap R_i = \emptyset$ для $i \neq k, l$, где $R(x) = \{\bigcup M(i_m) : f^m(x) \in M(i_m)\}$ – носитель траектории $\{f^m(x)\}$. Траектории $\{f^m(x)\}$ на каждом символическом образе G_n будет соответствовать определенный допустимый путь $\gamma_n \in P_n$. Так как $\{C_n\}$ есть последовательность измельчений, то $S(\gamma_n) = \gamma_1$, где S – отображение из множества P_n в множество P_1 . По предположению, $R(x) \cap R_i = \emptyset$ для $i \neq k, l$. Следовательно, путь γ_1 не проходит через классы H_i для $i \neq k, l$. Таким образом, допустимый путь $\gamma_1 \in P_1^n$ для любого n , начинается в классе H_k и заканчивается в классе H_l , и не проходит через другие истинные классы. Значит, $k \rightarrow l$ – ребро на графе $G_{1n_1}^*$. Утверждение доказано. ■

Построение структурного графа динамической системы. Построим аналогично графу G_1^{**} граф G_2^{**} , повторяя тот же алгоритм для структурного графа G_2^* . Покажем, что число вершин графа G_2^{**} не меньше числа вершин графа G_1^{**} . Действительно, если $k \in Ver(G_2^{**})$, то ее носитель содержит обязательно компоненту Q_k цепно-рекуррентного множества. Этой компоненте на графе G_1^{**} соответствует ровно одна вершина l . Носитель R_l , соответствующий вершине l , может содержать несколько компонент цепно-рекуррентного множества. Этим компонентам на графе G_2^{**} могут соответствовать несколько вершин. Таким образом, $|Ver(G_1^{**})| \leq |Ver(G_2^{**})|$. Из этого следует, что и число ребер графа G_2^{**} не меньше числа ребер G_1^{**} .

Рассмотрим последовательность графов:

$$G_1^{**}, G_2^{**}, G_3^{**}, \dots \tag{6}$$

Из приведенных выше рассуждений следует, что

$$|Ver(G_1^{**})| \leq |Ver(G_2^{**})| \leq \dots \leq |Ver(\Gamma)|,$$

$$|E(G_1^{**})| \leq |E(G_2^{**})| \leq \dots \leq |E(\Gamma)|,$$

где Γ – структурный граф динамической системы.

Теорема 5 *Если динамическая система имеет конечное число компонент цепно-рекуррентного множества, то существует номер $s > 0$ такой, что $G_s^{**} = \Gamma$.*

Доказательство. Так как $|Ver(G_n^{**})| \leq |Ver(\Gamma)| < +\infty$ для любого натурального n , то в последовательности (6) с некоторого момента все графы будут иметь одинаковое множество вершин. Пусть $Q = Q_1 \cup Q_2 \cup \dots \cup Q_m$, $U_k \supset Q_k$ – непересекающиеся окрестности, изолирующие компоненты цепно-рекуррентного множества. Так как число компонент конечное, то, согласно теореме 3, существует покрытие C_t такое, что $Q_k \subset R_k^t \subset U_k$ для любого $k = 1, \dots, m$. Здесь через R_k^t обозначается носитель класса H_k на символическом образе G_t . Тогда каждая вершина k структурного графа G_t^* будет соответствовать не более одной компоненте Q_k . Следовательно, граф G_t^{**} будет содержать ровно m вершин. Следовательно, $Ver(G_n^{**}) = Ver(\Gamma)$ для любого $n \geq t$. По определению, все ребра графа G_t^{**} истинные. То есть, если Q_k, Q_l есть компоненты цепно-рекуррентного множества, соответствующие вершинам $k, l \in Ver(G_t^{**})$, $k \rightarrow l$ – ребро на G_t^{**} , то существует связь $Q_k \rightarrow Q_l$. Поэтому, если $k \rightarrow l$ – ребро на графе G_t^{**} , то $k \rightarrow l$ – ребро на графе G_n^{**} для любого $n \geq t$, и $k \rightarrow l$ – ребро на структурном графе динамической системы Γ . С ростом номера n множество ребер $E(G_n^{**})$ может разве лишь увеличиваться. Покажем, что существует $s > t$ такое, что $E(G_n^{**}) = E(\Gamma)$ для любого $n \geq s$.

Пусть Q_k, Q_l – две компоненты цепно-рекуррентного множества и есть связь $Q_k \rightarrow Q_l$. Тогда существует на фазовом пространстве точка x с ω -предельным множеством в Q_l и с α -предельным множеством в Q_k . Из утверждения 3 следует, что существует такое мелкое покрытие C_n , что $R(x) \cap R_i^n = \emptyset$ для $i \neq k, l$, где $R(x)$ – носитель траектории $\{f^m(x)\}$ относительно покрытия C_n . Следовательно, на символическом образе G_n существует допустимый путь из H_k^n в H_l^n , соответствующий траектории точки x и не проходящий через другие истинные классы. Тогда на графе G_n^{**} будет ребро $k \rightarrow l$. Так как связей между компонентами цепно-рекуррентного множества конечное число, то существует граф G_s^{**} , $s > t$, ребра которого соответствуют всем связям $Q_k \rightarrow Q_l$. Таким образом, $Ver(G_s^{**}) = Ver(\Gamma)$, $E(G_s^{**}) = E(\Gamma)$ и, следовательно, $G_s^{**} = \Gamma$. Теорема доказана. ■

Таким образом, при условии ограниченности числа компонент цепно-рекуррентного множества, мы за конечное число шагов можем построить структурный граф динамической системы. На каждом шаге каждому построенному графу можно сопоставить соответствующую матрицу переходов. То есть, получаем следующие последовательности матриц:

- 1) для $l \geq 1$: $\Pi_{l+1}^*, \Pi_{l+2}^*, \dots, \Pi_{lk}^*, \dots, \Pi_l^{**}$. Здесь Π_{lk}^* – матрица переходов для графа G_{lk}^* , Π_l^{**} – матрица переходов для истинного структурного графа G_l^{**} .
- 2) $\Pi_1^{**}, \Pi_2^{**}, \dots, \Pi_s^{**} = A$, где A – структурная матрица динамической системы f .

Схема вычисления структурной матрицы.

- Строится последовательность покрытий C_k и символических образов G_k .
- Определяются отображения $G_k \rightarrow G_l, \quad k > l$.
- Строятся графы G_{lk}^* и соответствующие матрицы переходов Π_{lk}^* . Тогда
 - матрица Π_{lk}^* , где число $k - l$ является достаточно большим, есть матрица переходов Π_l^{**} истинного структурного графа G_l^{**} для покрытия C_l ;
 - матрица Π_{lk}^* , где числа l и $k - l$ являются достаточно большими, есть структурная матрица A динамической системы f .

Примеры.

Пример 1 *Покажем, что ложные компоненты множества возвратных вершин символического образа могут существовать для сколь угодно мелкого покрытия. Отсюда следует, что построение отображений $G_k \rightarrow G_l, \quad k > l$ является необходимым.*

Рассмотрим линейное отображение f_λ расширенной полупрямой $[0, +\infty) \cup +\infty$ в себя:

$$f_\lambda : x \rightarrow \lambda x,$$

$\lambda \in (0, 1)$. Таким образом, в качестве компакта M рассматривается компактефицированная полупрямая $[0, +\infty]$, на которой отображение f_λ есть

гомеоморфизм. Предполагается, что $+\infty$ является неподвижной точкой. Построим последовательность покрытий $\{C_k\}$, $k \in \mathbf{N}$, где

$$C_k = \left\{ \left[\frac{l}{2^k}, \frac{l+1}{2^k} \right] \right\}_{l=0}^{2^k-2} \cup \left[\frac{2^k-1}{2^k}, +\infty \right].$$

Для каждого k покрытие C_k представляет собой конечное объединение замкнутых отрезков, причем покрытие C_{k+1} является подразбиением покрытия C_k , то есть, $C_{k+1} \succ C_k$. Выясним сколько классов эквивалентных рекуррентных вершин будет иметь символический образ G_k . Обозначим через $M_k(l)$, $l \neq 2^k - 1$, элемент $\left[\frac{l}{2^k}, \frac{l+1}{2^k} \right]$ покрытия C_k . Тогда $f(M_k(l)) = \left[\frac{\lambda l}{2^k}, \frac{\lambda(l+1)}{2^k} \right]$. Так как f_λ – сжимающее отображение, то вершина l на символическом образе будет возвратной тогда и только тогда, когда 1) $f(M_k(l)) \cap M_k(l) \neq \emptyset$ для $l \neq 2^k - 1$ или 2) $l = 2^k - 1$ (номеру $l = 2^k - 1$ соответствует ячейка $\left[\frac{2^k-1}{2^k}, +\infty \right]$ покрытия C_k , которая засекает себя при отображении f_λ для всех k). То есть, необходимо выполнение следующих условий:

$$\begin{aligned} \frac{l}{2^k} &\leq \frac{\lambda(l+1)}{2^k}, \\ l &= 2^k - 1 \end{aligned}$$

или окончательно

$$\begin{aligned} l &\leq \frac{\lambda}{1-\lambda}, \\ l &= 2^k - 1. \end{aligned} \tag{7}$$

Таким образом, число классов эквивалентных рекуррентных вершин одинаково для всех символических образов G_k и зависит лишь от λ и не зависит от k . Это означает, что структурные графы G_k^* символических образов имеют одно и тоже множество вершин, причем для $\lambda \geq 0.5$ (тогда $\frac{\lambda}{1-\lambda} \geq 1$) и $k \geq 2$ множество $Ver(G_k^*)$ будет состоять по крайней мере из четырех вершин. Но цепно-рекуррентное множество Q динамической системы f_λ состоит из двух точек $x = 0$ и $x = +\infty$ и структурный граф Γ системы имеет две вершины. Таким образом, цепочка символических образов не дает точную информацию о глобальной структуре фазового пространства.

В частности, рассмотрим случай $\lambda = \frac{3}{4}$. Построим три покрытия для множества $[0, +\infty]$:

$$\begin{aligned} C_1 &= \{[0, 1/2], [1/2, +\infty]\}, \\ C_2 &= \{[0, 1/4], [1/4, 1/2], [1/2, 3/4], [3/4, +\infty]\}, \\ C_3 &= \{[0, 1/8], [1/8, 1/4], [1/4, 3/8], [3/8, 1/2], [1/2, 5/8]\}, \end{aligned}$$

$$[5/8, 3/4], [3/4, 7/8], [7/8, +\infty]\}.$$

На рисунках 1 и 2а) построены соответствующие символические образы G_i для этих покрытий и структурные графы символических образов G_i^* , $i = 1, 2, 3$.

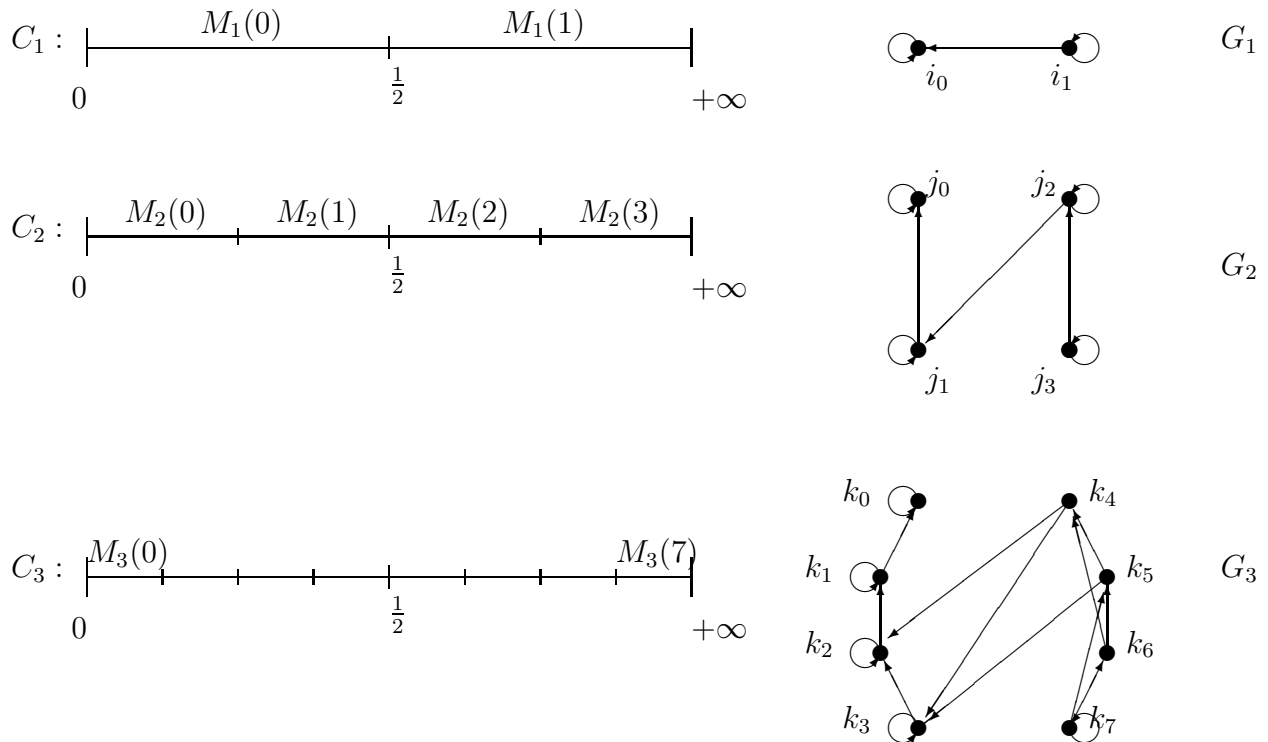


Рис. 1:

Граф G_3^* имеет пять вершин. Согласно условиям (7), любой символический образ G_k , $k > 3$, для покрытия C_k , будет иметь ровно пять классов эквивалентных возвратных вершин. Таким образом, имея сколь угодно большую последовательность вписанных покрытий, мы не получим структурного графа динамической системы.

Построим граф G_{12}^* (см. стр. 96). Рассмотрим допустимые пути: $\omega = \{..i_0i_0i_0..\} \in P_1$, $\gamma = \{..j_0j_0j_0..\} \in P_2$, где P_1, P_2 – пространства допустимых путей для символических образов G_1, G_2 соответственно. Так как $M_2(0) \subset M_1(0)$, то $S(\gamma) = \omega$, где S – отображение из P_2 в P_1 . Аналогично, для путей $\omega_1 = \{..i_1i_1i_1..\} \in P_1$, $\gamma_1 = \{..j_2j_2j_2..\} \in P_2$ выполняется равенство $S(\gamma_1) = \omega_1$. Кроме того, путь $\{..j_2..j_2j_1..j_1..\}$ при отображении S отобразится на путь $\{..i_1i_0..\}$. Следовательно, множества вершин $Ver(G_1^*) = \{v_0, v_1\}$ и

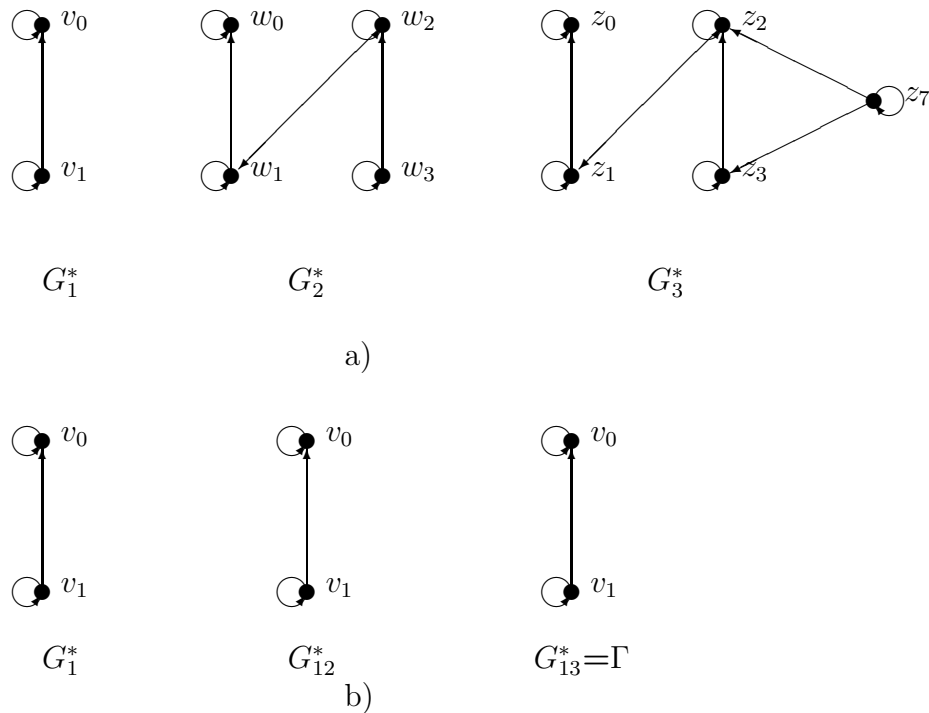


Рис. 2:

$Ver(G_{12}^*)$ одинаковые и множества ребер также одинаковые (см. рис. 2b)). Из аналогичных соображений следует, что граф G_{13}^* также будет содержать вершины v_0, v_1 графа G_1^* . Таким образом, граф G_{13}^* имеет две вершины. То есть $G_{13}^* = \Gamma$. Вершина v_1 графа G_{13}^* соответствует последней ячейке разбиения.

Этот пример показывает недостаточность построения последовательности структурных графов $\{G_k^*\}$, соответствующих последовательным измельчениям C_k компакта. Ложные компоненты на графе G_k исчезнут при последовательных отображениях $S : G_m \rightarrow G_k, m > k$.

Пример 2 Структурный граф отображения Икеды.

Отображением Икеды называется отображение комплексной плоскости в себя, определяемое равенством:

$$I : z \rightarrow R + C_2 z \exp \left(i \left(C_1 - \frac{C_3}{1 + |z|^2} \right) \right), \tag{8}$$

где R, C_1, C_2, C_3 – вещественные постоянные. Это отображение предложено Икедой как модель динамики ячейки оптического компьютера.

Отображение (8) в вещественном представлении имеет вид:

$$I(x, y) = (R + C_2(x \cos \tau - y \sin \tau), C_2(x \sin \tau + y \cos \tau)), \quad (9)$$

где

$$\tau = C_1 - \frac{C_3}{1 + x^2 + y^2}.$$

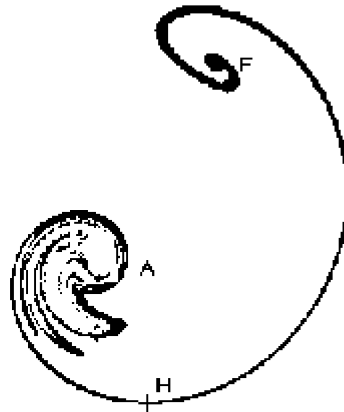


Рис. 3: Максимальный аттрактор отображения Икеды.

Отображение (9) можно рассматривать как суперпозицию трех отображений T_1 , T_2 , T_3 плоскости на себя:

$$I = T_3 \circ T_2 \circ T_1,$$

где $T_1(x, y) = (x \cos \tau - y \sin \tau, x \sin \tau + y \cos \tau)$ – отображение поворота на угол $\tau = \tau(r)$, $r = \sqrt{x^2 + y^2}$;

$T_2(x, y) = (C_2x, C_2y)$ – линейная гомотетия;

$T_3(x, y) = (R + x, y)$ – отображение сдвига вдоль вещественной оси.

Численное моделирование динамики отображения Икеды проводилось при следующих значениях параметров $C_1 = 0.4$, $C_2 = 0.9$, $C_3 = 6.0$, $R = 0.8$. Используя последовательность символических образов, построена локализация максимального инвариантного множества отображения (9) в области $D = [-10, 10] \times [-10, 10]$. При данных параметрах все траектории системы достигают область D . На рис. 3 показан максимальный аттрактор (максимальное инвариантное множество) в области D .

Цепно-рекуррентное множество данной динамической системы имеет три компоненты: странный аттрактор Икеды, гиперболическая точка и устойчивый фокус (на рис. 3 эти компоненты помечены буквами A , H , F соответственно.)

Построенные структурный граф и структурная матрица отображения Икеды (рис. 4) показывают как компоненты связаны между собой. Бесконечно-удаленная точка является отталкивающей компонентой.

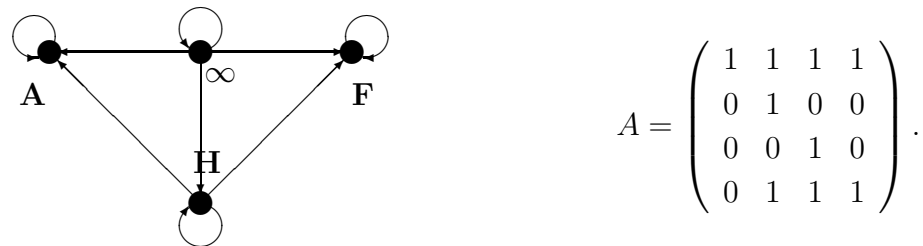


Рис. 4: Структурный граф и структурная матрица отображения Икеды.

Литература

- [1] В.М. Алексеев, Символическая динамика, 11-ая математическая школа, Киев, 1976, с.128.
- [2] Р. Боуэн, Методы символической динамики, Математика, N13, Москва, 1979.
- [3] В.А.Плисс "Интегральные множества периодических систем дифференциальных уравнений" М. "Наука", 1977.
- [4] J.Guckenheimer, J.Moser, and S.Newhouse, Dynamical Systems, Birkhauser-Verlag (1980);
- [5] Z.Nitetcki and M.Shub, Filtrations, decompositions, and explosions, Amer. J. Math., 97(1975), 1029-1047;
- [6] Mizin D.A., Osipenko G.S., Kobayakov S. Yu. The estimates for the topological entropy of the dynamic system // Proceedings of the third international conference "Tools for mathematical modelling", SpbSTU, 2001, p. 85-105.

- [7] G.Osipenko, Construction of Attractors and filtrations, Conley Index Theory, Banach Center Publications, Warszawa, v.47, 1999, 173-197.
- [8] J.Palis, On Morse-Smale dynamical systems, Topology 8 (1969), 385-404;
- [9] C.Pugh, The closing lemma, Amer. J.Math., 84, no 4 (1967);
- [10] J.Robbin, Astructural stability theorem, Annals of Math. 94 (1971), no. 3, 447-493;
- [11] S.Smale, Differentiable dynamical systems, Bull. Amer. Math. Soc. 73 (1967), 747-817;